

I-57 斜格子桁橋における主桁・横桁 曲げモーメントの性状について(1)

熊本大学 正員 吉村虎藏

斜格子桁橋の解析に対して、幾多の貴重な研究が積まれてゐるけれども、実際に斜格子橋を設計するにあたっては、直格子橋の設計のときのように、手軽に利用できような数表や図表が、現在まだ準備されていないために、個々の橋についてかなりの手数の解析を行わなければならぬ。従って、斜橋に対しても直橋におけるような、設計用の数表又は図表の出現が望まれるわけであるが、筆者はモデルアナリシスによつて、等剛度主桁並列・横桁直交の格子桁橋について、60種のM-係数表を作成することができた。更に、これを用いて等分布荷重や線荷重に対する斜橋の挙動を調べてみたので、この解析の精密度と主桁・横桁曲げモーメントの性状の一端とし、に得られたM-係数表の利用法について発表した。

このモデルアナリシスについては、36年度の年次大会での概要を発表したが、この際はモデル材に断面精度の高いのが主な理由を使用し、モデルの支間を1.80mに改めて実験を行つた。走ゲージは、主桁では先の4等分点に、横桁では2等分貼布して、着脱をかけたときの歪を測定して、M-係数表を作成した。

この解析法の精密度については、第2鴨川橋について、昨年冬の一部を発表したが、今回は更に検討を加え、表-1の如き結果を得た。格子理論とこの解析により得られた結果は、全く一致すると結論してもよいと思う。また、直橋の場合については、9種の格子桁橋について、レオナルドの簡易計算法やギヨン・マンネーの方法による結果と比較検討したが、影響面体積を比べると、その差が5%以内で、而してその強んどが0~3%の差を示していく、この解析法の精度が実用的に充分であることが判明した。

前述の寸法は、九州地方から得た資料を参考として、支間40m以下、中長16m以下の橋を包含するように定められた。所以下記の通りである。

主桁数	b/l	斜角θ°
3, 4, 5, 6	1/6, 1/9, 1/12	20°, 30°, 45°, 60°, 90° (直角)

但し L = 主桁内障, l = 支間

表-1 第2鴨川橋 M-係数表

測点 高さ 点	主桁中央(MT)		中桁中央(RT)	
	M.A.	格子	M.A.	格子
1-2	61	58 (61)	50	52 (54)
1-4	159	156 (158)	66	68 (71)
1-6	58	58 (58)	38	37 (39)
1-1	29	23 (25)		
1-3	103	101 (99)		
1-5	101	97 (102)		
1-7	26	23 (26)		
2-2	31	29 (31)	21	25 (23)
2-4	58	58 (57)	97	100 (105)
2-6	52	48 (50)	29	28 (30)
2-1			7	8 (7)
2-3			46	50 (52)
2-5			50	52 (55)
2-7			12	11 (14)
2'-6	15	18 (17)	17	18 (17)
2'-4'	27	29 (28)	40	40 (42)
2'-2'	24	22 (23)	35	37 (38)
1'-6'	13	11 (12)	17	19 (19)
1'-4'	13	13 (13)	25	27 (25)
1'-2'	6	6 (6)	13	13 (13)

- (説) 1. 係数 $\times 10^{-2} \text{ kN/m}^2$
 2. (M.A.) はモデルアナリシスの略称
 3. (格子) は格子理論の略称
 カッコ内は変形面格子、カッコ外は定形面
 格子のM-係数である。

横桟は、3本横桟の直角と大体横方向剛性が等しくなるよう、主左横方向の荷重分布に対する有効性を考慮した。

これら M-俌数表を用いて、等分布荷重 (F) を載せた場合の耳桟 (RT), 中桟 (MT), 横桟 (QT) の中央の曲げモーメント $\frac{M}{L}$ 中桟の慣用計算値を 1 とした場合の曲げモーメント比と斜角との関係の 2 つの例を図-1, 2 に掲げる。図は主桟が 3 本と 6 本の場合である。

左、右
の M-俌数表を利用

左、上記のモデル上、寸法の異なる斜角 θ 桟 ($l = 24.7 \text{ m}$, $b/f = 1/1.15$, $\theta = 41^\circ$, 4 主桟) と
坪井川桟 ($l = 25.2 \text{ m}$,
 $b/f = 1/2.4$, $\theta = 42^\circ$,
4 主桟) について内挿法
によつて曲げモーメントを求めたところ、
実験値との誤差は、
0~3% であつて、M-俌数表が充分実用性のあることが知られる。
左、右、左、右の M-俌数表は主桟数が 3~6 本の場合につき作成したもの、
モデルと同じ形で、直交方向の曲げ剛性比の相似を多主桟の格子にも適用できることを示す。

図1 図 3 主桟 等分布荷重

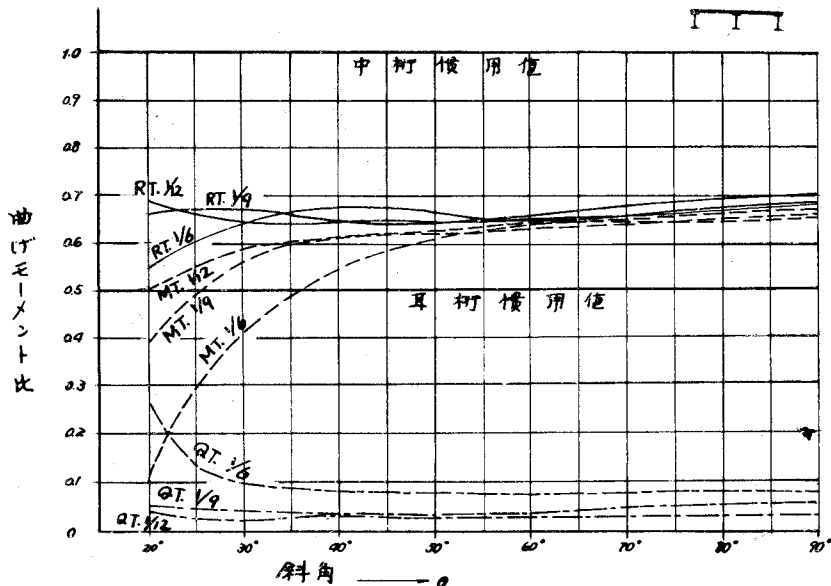


図2 図 6 主桟 等分布荷重

